



Prüfbericht Nr. L.2011.P.567.NOR

Test report no. L.2011.P.567.NOR

Experimentelle Ermittlung der Wärmestromdichte einer Fussbodenheizung nach DIN EN 1264

Determination of the specific thermal output of a floor heating system in acc. to EN 1264

Prüfmuster 1

Aufbau ohne Oberbelag, Rohre in Systemplatte eingebettet

Auftragnehmer: Universität Stuttgart - Institut für Gebäudeenergetik
testing laboratory: Thermotechnik und Energiespeicherung (IGTE)
Pfaffenwaldring 35
70569 Stuttgart

Auftraggeber: NORDIC Underlay & Floorheating A/S
Client: A. P. Møllers Alle 55.
DK 2791 Dragør (Denmark)



Stuttgart, den 30. November 2020

Prof. Dr.-Ing. K. Stergiopoulos
(Leiter der Prüfstelle)
(Director of testing and inspection body HLK Stuttgart)

Dr.-Ing. Chr. Beck
(Prüfingenieur)
(Test Engineer)

Der Bericht umfasst 11 Seiten. Er darf ohne Genehmigung des Auftragnehmers nur in vollem Umfang vervielfältigt werden. Die Prüfergebnisse beziehen sich ausschließlich auf die Prüfgegenstände.
This report consists of 11 pages. The report shall not be reproduced expect in full without the written approval of the testing laboratory. The test results relate only to the items tested.

Prüfgrundlage:
test method:

Die Grundlagen für die Prüfung und Zertifizierung bilden
die nachstehend aufgeführten Dokumente in ihrer jeweils
gültigen Fassung:

The currently valid versions of the following documents form the
basis for inspection and certification:

DIN EN 1264-2: Prüfverfahren (3/2013)

DIN EN 1264-4: Installation (11/2009)

DIN EN 1264-5: Berechnungsverfahren (1/2009)

Zertifizierungsprogramm DIN CERTCO: "Raumflächen-
integrierte Heiz- und Kühlssysteme mit Wasserdurchströmung" (11/2009)

Prüfgegenstand:
test item:

Nordic Fußbodenheizungsplatte 162541, ohne zus. Belag
Nordic Underfloor heating panel: 162541, without add. layer

Beginn – Ende der Prüfung:
start – end of tests

11.11.2020 – 12.11.2020

Hersteller:
manufacturer:

Der Auftraggeber
the client

Bezeichnung:
trademark:

Nordic Fußbodenheizungsplatte 162541, ohne zus. Belag
Nordic Underfloor heating panel: 162541, without add. layer

Systembeschreibung:
system description:

Sondersystem mit Verbundrohren
(siehe Abbildungen im Anhang dieses Berichtes)

Systemaufbau:
system construction:

Fußbodenheizungssystem nach DIN EN 1264
floor heating system in acc. to DIN EN 1264

Lastverteilsschicht:
distribution layer:

Aluminiumblech, Dicke: 0,1mm
Aluminum heat distribution plate: thickness: 0.1 mm

Rohr:
pipe:

Underfloor heating pipe, 16x2mm,
PE-RT TYPE II 5 Layer. 6 bar

Einbauten:
inserts:

Aluminiumblech, Dicke: 0,1mm
Aluminum heat distribution plate: thickness: 0.1 mm

Rohrfixierung:
pipe fixation:

Rohr eingebettet in Systemplatte (Nuten)
Pipe embedded in system plate, slots

Rohrabstand:
spacing:

150 mm

Prüfling:
test sample:

ca. 1m x 1m
plus Masterdämmplatten $R_{\lambda,B}=0,14$ und $R_a=0,09 \text{ m}^2\text{K/W}$
appr. 40 Inch x 40 Inch, plus master insulation boards with given
resistance of $R_{\lambda,B}=0,14$ und $R_a=0,09 \text{ m}^2\text{K/W}$

angeliefert:
date of receipt:

14.10.2020

Der Bericht umfasst 11 Seiten. Er darf ohne Genehmigung des Auftragnehmers nur in vollem Umfang vervielfältigt werden. Die Prüfergebnisse beziehen sich ausschließlich auf die Prüfgegenstände.

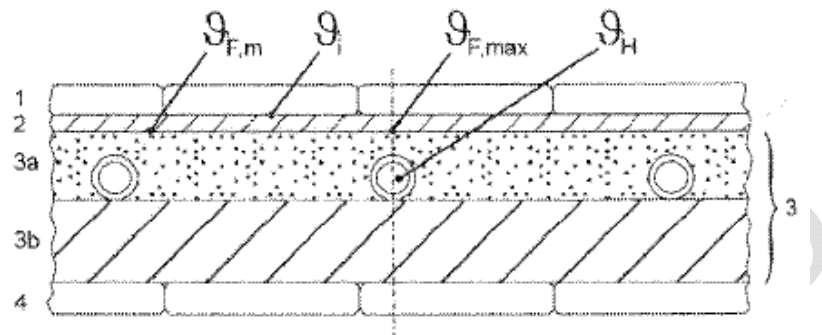
This report consists of 11 pages. The report shall not be reproduced expect in full without the written approval
of the testing laboratory. The test results relate only to the items tested.

1 Angaben zum Prüfstand

1 description of the test installation

Plattenapparat / Versuchseinrichtung nach DIN EN 1264-2: 2009

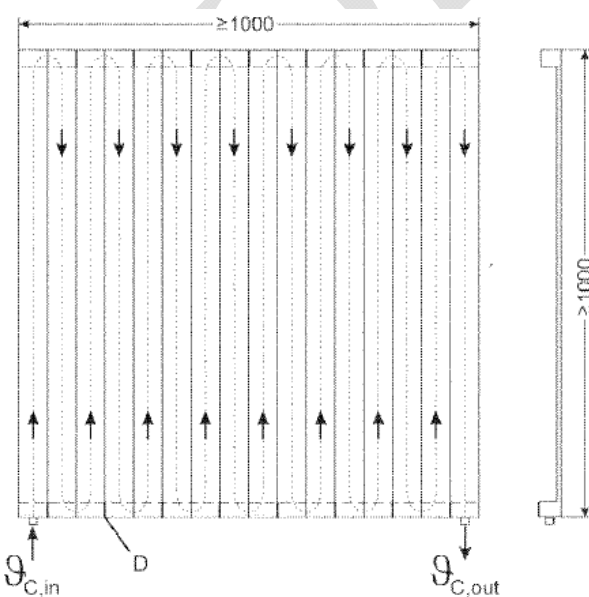
Plate heat / test equipment according to DIN EN 1264-2: 2009



- 1 Kühleplatte oben
- 2 Wärmeleitende Schicht
- 3 Fußbodenheizsystem (Prüfling)
 - 3a Estrich mit eingebetteten Rohren (Teil des Prüflings)
 - 3b Wärmedämmung (Teil des Prüflings)
- 4 Kühleplatte unten

Abbildung 1: Prüfstand nach EN 1264 Teil 2 Abschnitt 9

Figure 1: Test bench to EN 1264 Part 2, Section 9



- D Trennscheiben
 $\vartheta_{C,out}$ Kühlwasser-Austrittstemperatur
 $\vartheta_{C,in}$ Kühlwasser-Eintrittstemperatur

Abbildung 2: obere und untere Kühleplatte nach EN 1264 Teil 2 Abschnitt 9

Figure 2: upper and lower cooling plate according to EN 1264 Part 2, Section 9

Der Bericht umfasst 11 Seiten. Er darf ohne Genehmigung des Auftragnehmers nur in vollem Umfang vervielfältigt werden. Die Prüfergebnisse beziehen sich ausschließlich auf die Prüfgegenstände.

This report consists of 11 pages. The report shall not be reproduced expect in full without the written approval of the testing laboratory. The test results relate only to the items tested.

2 Prüfergebnisse

2 test results

2.1 Prüfablauf:

2.1 procedure of testing

Die Verteilung der Oberflächentemperaturen des Fußbodens über einer ausgewählten Teilfläche des Prüflings wird gemessen und dabei die mittlere Heizmitteltemperatur ϑ_m bei konstanter Kühlplattentemperatur $\vartheta_i = 20^\circ\text{C}$ der Kühlplatten so eingestellt, dass eine maximal zulässige Fußbodenoberflächentemperatur $\vartheta_{F,\max} = 29^\circ\text{C}$ erreicht wird.

Aus der bei $(\vartheta_{F,\max} - \vartheta_i) = 9K$ ermittelten, mittleren Fußbodentemperatur $(\vartheta_{F,m} - \vartheta_i)$ ergibt sich nach der Basis-Kennlinie $q = 8,92 \cdot (\vartheta_{F,m} - \vartheta_i)^{1,1}$ die Norm-Wärmestromdichte bei der Messung ohne zusätzlichen Fußbodenbelag bzw. die zulässige Grenz-Wärmestromdichte bei der Messung mit Fußbodenbelag.

The temperature field of the floor surface is measured in order to determine the values $\vartheta_{F,m}$ and $\vartheta_{F,\max}$. The measurement is carried out when steady state conditions are reached and a temperature of both cooling plates of $\vartheta_i = 20^\circ\text{C} \pm 0,5\text{ K}$ is maintained. Under these conditions the average temperature of the heating medium ϑ_H is set to achieve a maximum floor surface temperature of $\vartheta_{F,\max} = 29^\circ\text{C}$ (i.e. $\vartheta_{F,\max} - \vartheta_i = 9\text{ K}$), and in this case the difference between the average temperature of the heating medium and the temperature of the cooling plates $\vartheta_H - \vartheta_i = \Delta\vartheta_H = \Delta\vartheta_{H,N}$ (standard value) applies.

Given that $(\vartheta_{F,\max} - \vartheta_i) = 9\text{ K}$ is maintained and the average temperature difference of the floor surface and the room $(\vartheta_{F,m} - \vartheta_i)$ is determined, this temperature difference is used within the basic characteristic curve and gives the standard specific thermal output

The standard specific thermal output q_N , together with the above determined corresponding value of the standard temperature difference $\Delta\vartheta_{H,N}$, gives the equation for the characteristic curve for $R_{\lambda,B} = 0$.

Der Bericht umfasst 11 Seiten. Er darf ohne Genehmigung des Auftragnehmers nur in vollem Umfang vervielfältigt werden. Die Prüfergebnisse beziehen sich ausschließlich auf die Prüfgegenstände.
This report consists of 11 pages. The report shall not be reproduced expect in full without the written approval of the testing laboratory. The test results relate only to the items tested.

2.2 Messwerte experimentelle Prüfung:

2.2 results of measuring

	Messwerte experimentelle Prüfung																																																																																																																																																																																																												
	für $R_{\lambda,B} = 0,00 \text{ m}^2 \text{ K} / \text{W}$																																																																																																																																																																																																												
measuring points	<table border="1" style="width: 100%; border-collapse: collapse;"> <tr><td>$\theta_{F,1}$</td><td>22,29</td><td>°C</td><td>$\theta_{F,10}$</td><td>22,64</td><td>°C</td><td>$\theta_{F,19}$</td><td>25,01</td><td>°C</td><td>$\theta_{F,10}$</td><td>25,17</td><td>°C</td><td>$\theta_{F,11}$</td><td>25,62</td><td>°C</td><td>$\theta_{F,12}$</td><td>26,16</td><td>°C</td><td>$\theta_{F,13}$</td><td>27,43</td><td>°C</td></tr> <tr><td>$\theta_{F,2}$</td><td>22,62</td><td>°C</td><td>$\theta_{F,11}$</td><td>22,86</td><td>°C</td><td>$\theta_{F,20}$</td><td>25,37</td><td>°C</td><td>$\theta_{F,11}$</td><td>25,62</td><td>°C</td><td>$\theta_{F,12}$</td><td>26,16</td><td>°C</td><td>$\theta_{F,13}$</td><td>27,43</td><td>°C</td><td>$\theta_{F,14}$</td><td>29,14</td><td>°C</td></tr> <tr><td>$\theta_{F,3}$</td><td>23,79</td><td>°C</td><td>$\theta_{F,12}$</td><td>23,73</td><td>°C</td><td>$\theta_{F,21}$</td><td>25,88</td><td>°C</td><td>$\theta_{F,12}$</td><td>26,16</td><td>°C</td><td>$\theta_{F,13}$</td><td>27,43</td><td>°C</td><td>$\theta_{F,14}$</td><td>29,14</td><td>°C</td><td>$\theta_{F,15}$</td><td>27,46</td><td>°C</td></tr> <tr><td>$\theta_{F,4}$</td><td>25,37</td><td>°C</td><td>$\theta_{F,13}$</td><td>25,33</td><td>°C</td><td>$\theta_{F,22}$</td><td>27,14</td><td>°C</td><td>$\theta_{F,13}$</td><td>27,43</td><td>°C</td><td>$\theta_{F,14}$</td><td>29,14</td><td>°C</td><td>$\theta_{F,15}$</td><td>27,46</td><td>°C</td><td>$\theta_{F,16}$</td><td>26,23</td><td>°C</td></tr> <tr><td>$\theta_{F,5}$</td><td>28,96</td><td>°C</td><td>$\theta_{F,14}$</td><td>28,83</td><td>°C</td><td>$\theta_{F,23}$</td><td>28,93</td><td>°C</td><td>$\theta_{F,14}$</td><td>29,14</td><td>°C</td><td>$\theta_{F,15}$</td><td>27,46</td><td>°C</td><td>$\theta_{F,16}$</td><td>26,23</td><td>°C</td><td>$\theta_{F,17}$</td><td>25,71</td><td>°C</td></tr> <tr><td>$\theta_{F,6}$</td><td>25,03</td><td>°C</td><td>$\theta_{F,15}$</td><td>24,76</td><td>°C</td><td>$\theta_{F,24}$</td><td>27,25</td><td>°C</td><td>$\theta_{F,15}$</td><td>27,25</td><td>°C</td><td>$\theta_{F,16}$</td><td>26,05</td><td>°C</td><td>$\theta_{F,17}$</td><td>25,71</td><td>°C</td><td>$\theta_{F,18}$</td><td>25,38</td><td>°C</td></tr> <tr><td>$\theta_{F,7}$</td><td>23,56</td><td>°C</td><td>$\theta_{F,16}$</td><td>23,79</td><td>°C</td><td>$\theta_{F,25}$</td><td>26,05</td><td>°C</td><td>$\theta_{F,16}$</td><td>26,05</td><td>°C</td><td>$\theta_{F,17}$</td><td>25,54</td><td>°C</td><td>$\theta_{F,18}$</td><td>25,21</td><td>°C</td><td></td><td></td><td></td></tr> <tr><td>$\theta_{F,8}$</td><td>22,83</td><td>°C</td><td>$\theta_{F,17}$</td><td>22,91</td><td>°C</td><td></td><td></td><td></td><td>$\theta_{F,17}$</td><td>25,54</td><td>°C</td><td></td><td></td><td></td><td></td><td></td><td></td><td></td><td></td></tr> <tr><td>$\theta_{F,9}$</td><td>22,25</td><td>°C</td><td>$\theta_{F,18}$</td><td>22,45</td><td>°C</td><td></td><td></td><td></td><td>$\theta_{F,18}$</td><td>25,21</td><td>°C</td><td></td><td></td><td></td><td></td><td></td><td></td><td></td><td></td></tr> </table>																		$\theta_{F,1}$	22,29	°C	$\theta_{F,10}$	22,64	°C	$\theta_{F,19}$	25,01	°C	$\theta_{F,10}$	25,17	°C	$\theta_{F,11}$	25,62	°C	$\theta_{F,12}$	26,16	°C	$\theta_{F,13}$	27,43	°C	$\theta_{F,2}$	22,62	°C	$\theta_{F,11}$	22,86	°C	$\theta_{F,20}$	25,37	°C	$\theta_{F,11}$	25,62	°C	$\theta_{F,12}$	26,16	°C	$\theta_{F,13}$	27,43	°C	$\theta_{F,14}$	29,14	°C	$\theta_{F,3}$	23,79	°C	$\theta_{F,12}$	23,73	°C	$\theta_{F,21}$	25,88	°C	$\theta_{F,12}$	26,16	°C	$\theta_{F,13}$	27,43	°C	$\theta_{F,14}$	29,14	°C	$\theta_{F,15}$	27,46	°C	$\theta_{F,4}$	25,37	°C	$\theta_{F,13}$	25,33	°C	$\theta_{F,22}$	27,14	°C	$\theta_{F,13}$	27,43	°C	$\theta_{F,14}$	29,14	°C	$\theta_{F,15}$	27,46	°C	$\theta_{F,16}$	26,23	°C	$\theta_{F,5}$	28,96	°C	$\theta_{F,14}$	28,83	°C	$\theta_{F,23}$	28,93	°C	$\theta_{F,14}$	29,14	°C	$\theta_{F,15}$	27,46	°C	$\theta_{F,16}$	26,23	°C	$\theta_{F,17}$	25,71	°C	$\theta_{F,6}$	25,03	°C	$\theta_{F,15}$	24,76	°C	$\theta_{F,24}$	27,25	°C	$\theta_{F,15}$	27,25	°C	$\theta_{F,16}$	26,05	°C	$\theta_{F,17}$	25,71	°C	$\theta_{F,18}$	25,38	°C	$\theta_{F,7}$	23,56	°C	$\theta_{F,16}$	23,79	°C	$\theta_{F,25}$	26,05	°C	$\theta_{F,16}$	26,05	°C	$\theta_{F,17}$	25,54	°C	$\theta_{F,18}$	25,21	°C				$\theta_{F,8}$	22,83	°C	$\theta_{F,17}$	22,91	°C				$\theta_{F,17}$	25,54	°C									$\theta_{F,9}$	22,25	°C	$\theta_{F,18}$	22,45	°C				$\theta_{F,18}$	25,21	°C								
$\theta_{F,1}$	22,29	°C	$\theta_{F,10}$	22,64	°C	$\theta_{F,19}$	25,01	°C	$\theta_{F,10}$	25,17	°C	$\theta_{F,11}$	25,62	°C	$\theta_{F,12}$	26,16	°C	$\theta_{F,13}$	27,43	°C																																																																																																																																																																																									
$\theta_{F,2}$	22,62	°C	$\theta_{F,11}$	22,86	°C	$\theta_{F,20}$	25,37	°C	$\theta_{F,11}$	25,62	°C	$\theta_{F,12}$	26,16	°C	$\theta_{F,13}$	27,43	°C	$\theta_{F,14}$	29,14	°C																																																																																																																																																																																									
$\theta_{F,3}$	23,79	°C	$\theta_{F,12}$	23,73	°C	$\theta_{F,21}$	25,88	°C	$\theta_{F,12}$	26,16	°C	$\theta_{F,13}$	27,43	°C	$\theta_{F,14}$	29,14	°C	$\theta_{F,15}$	27,46	°C																																																																																																																																																																																									
$\theta_{F,4}$	25,37	°C	$\theta_{F,13}$	25,33	°C	$\theta_{F,22}$	27,14	°C	$\theta_{F,13}$	27,43	°C	$\theta_{F,14}$	29,14	°C	$\theta_{F,15}$	27,46	°C	$\theta_{F,16}$	26,23	°C																																																																																																																																																																																									
$\theta_{F,5}$	28,96	°C	$\theta_{F,14}$	28,83	°C	$\theta_{F,23}$	28,93	°C	$\theta_{F,14}$	29,14	°C	$\theta_{F,15}$	27,46	°C	$\theta_{F,16}$	26,23	°C	$\theta_{F,17}$	25,71	°C																																																																																																																																																																																									
$\theta_{F,6}$	25,03	°C	$\theta_{F,15}$	24,76	°C	$\theta_{F,24}$	27,25	°C	$\theta_{F,15}$	27,25	°C	$\theta_{F,16}$	26,05	°C	$\theta_{F,17}$	25,71	°C	$\theta_{F,18}$	25,38	°C																																																																																																																																																																																									
$\theta_{F,7}$	23,56	°C	$\theta_{F,16}$	23,79	°C	$\theta_{F,25}$	26,05	°C	$\theta_{F,16}$	26,05	°C	$\theta_{F,17}$	25,54	°C	$\theta_{F,18}$	25,21	°C																																																																																																																																																																																												
$\theta_{F,8}$	22,83	°C	$\theta_{F,17}$	22,91	°C				$\theta_{F,17}$	25,54	°C																																																																																																																																																																																																		
$\theta_{F,9}$	22,25	°C	$\theta_{F,18}$	22,45	°C				$\theta_{F,18}$	25,21	°C																																																																																																																																																																																																		
water inlet temperature	$\theta_{C,in}$	19,85	°C																																																																																																																																																																																																										
water outlet temperature	$\theta_{C,out}$	19,94	°C																																																																																																																																																																																																										
average surface temperature	θ_V	32,24	°C																																																																																																																																																																																																										
max. floor surface temperature	θ_R	32,11	°C																																																																																																																																																																																																										
cooling plate temperature	$\theta_{F,m}$	24,32	°C																																																																																																																																																																																																										
	$\theta_{F,max}$	28,89	°C																																																																																																																																																																																																										
	θ_i	19,89	°C																																																																																																																																																																																																										
	$(\theta_{F,max}-q_i)$	9,00	K																																																																																																																																																																																																										
	$(\theta_{F,m}-q_i)$	4,43	K																																																																																																																																																																																																										
excess temperature	$\Delta\theta_H$	12,28	K																																																																																																																																																																																																										
	$\theta_{F,m}$	26,52	°C																																																																																																																																																																																																										
	$\theta_{F,max}$	29,03	°C																																																																																																																																																																																																										
	θ_i	20,03	°C																																																																																																																																																																																																										
	$(\theta_{F,max}-q_i)$	9,00	K																																																																																																																																																																																																										
	$(\theta_{F,m}-q_i)$	6,49	K																																																																																																																																																																																																										
	$\Delta\theta_{H,N}$	29,60	K																																																																																																																																																																																																										

Tabelle 1: Messergebnisse experimentelle Prüfung nach EN 1264 - 2

Table 1: Experimental test results for EN 1264 - 2

Aus Basiskennlinie nach DIN EN 1264 errechnete **Norm-Wärmestromdichte**:
standard specific thermal output calculated on basic characteristic curve in acc. to DIN EN 1264

Norm-Wärmestromdichte

$\Delta\theta_{H,N}$	q_N
12,28	45,9

Tabelle 2: berechnete Normwärmestromdichte

Table 2: Calculated standard specific thermal output

Der Bericht umfasst 11 Seiten. Er darf ohne Genehmigung des Auftragnehmers nur in vollem Umfang vervielfältigt werden. Die Prüfergebnisse beziehen sich ausschließlich auf die Prüfgegenstände.

This report consists of 11 pages. The report shall not be reproduced expect in full without the written approval of the testing laboratory. The test results relate only to the items tested.

2.3 Weitere Ergebnisse der wärmetechnischen Prüfung

2.3 additional results of the thermal testing

Kennlinien der Fußbodenheizung

characteristic curves

Kennlinien des Systems $q = K_H * \Delta\theta$					
$R_{\lambda,B}$	0	0,05	0,10	0,15	m^2K/W
K_H	3,734	3,090	2,635	2,297	W/m^2k

Tabelle 3: Kennlinienkoeffizienten für die verschiedenen Standardbodenbeläge

Table 3: Coefficients of the characteristic curves for the different standard floor coverings

Grenzwärmestromdichte für den Aufenthaltsbereich:

Limit specific thermal output in the residence area

Grenzwärmestromdichte Aufenthaltsbereich: $(\theta_{F,max} - \theta_i) = 9K$					
$R_{\lambda,B}$	0	0,05	0,10	0,15	m^2K/W
q_G	45,9	52,3	60,7	72,5	W/m^2
$\Delta\theta_{H,G}$	12,3	16,9	23,0	31,6	K

Tabelle 4: Grenzwärmestromdichten für den Aufenthaltsbereich

Table 4: Limit specific thermal outputs in the residence area

Grenzwärmestromdichte für die Randzone:

Limit specific thermal output in the peripheral area

Grenzwärmestromdichte Randzone: $(\theta_{F,max} - \theta_i) = 15K$					
$R_{\lambda,B}$	0	0,05	0,10	0,15	m^2K/W
$q_{G,R}$	80,4	91,7	106,5	127,1	W/m^2
$\Delta\theta_{H,G}$	21,5	29,7	40,4	55,3	K

Tabelle 5: Grenzwärmestromdichten für die Randzone

Table 5: Limit specific thermal outputs in the peripheral area

Der Bericht umfasst 11 Seiten. Er darf ohne Genehmigung des Auftragnehmers nur in vollem Umfang vervielfältigt werden. Die Prüfergebnisse beziehen sich ausschließlich auf die Prüfgegenstände.

This report consists of 11 pages. The report shall not be reproduced expect in full without the written approval of the testing laboratory. The test results relate only to the items tested.

2.4 Oberflächentemperaturen

2.4 surface temperature

Oberflächentemperaturen ohne Fußbodenbelag
surface temperature without floor covering

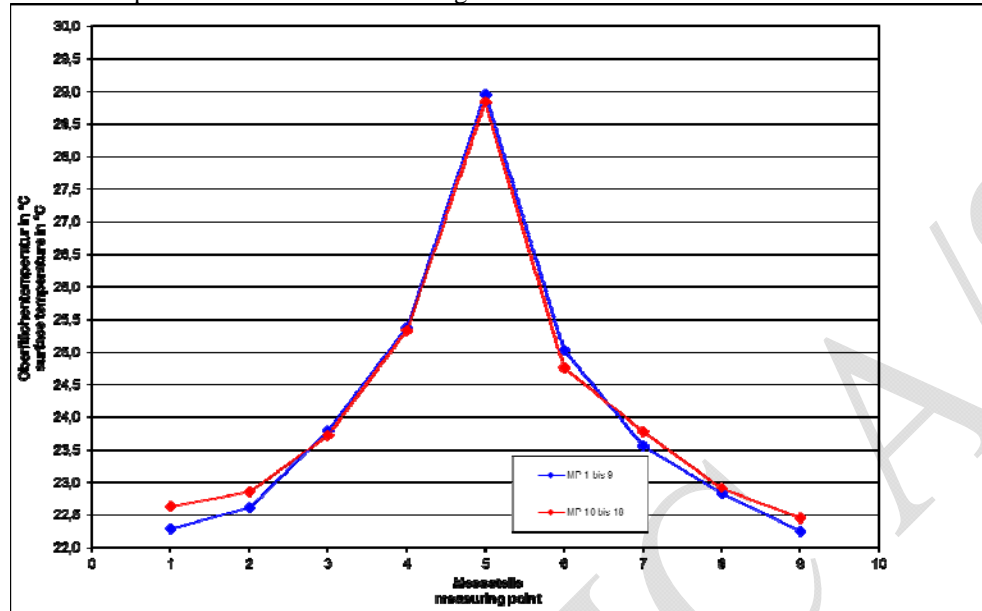


Abbildung 3: Oberflächentemperaturen ohne Fußbodenbelag

Figure 3: surface temperature without floor covering

Oberflächentemperaturen mit Fußbodenbelag R_λ , $B = 0,14 \text{ m}^2\text{K/W}$

surface temperature with floor covering R_λ , $B = 0,14 \text{ m}^2\text{K/W}$

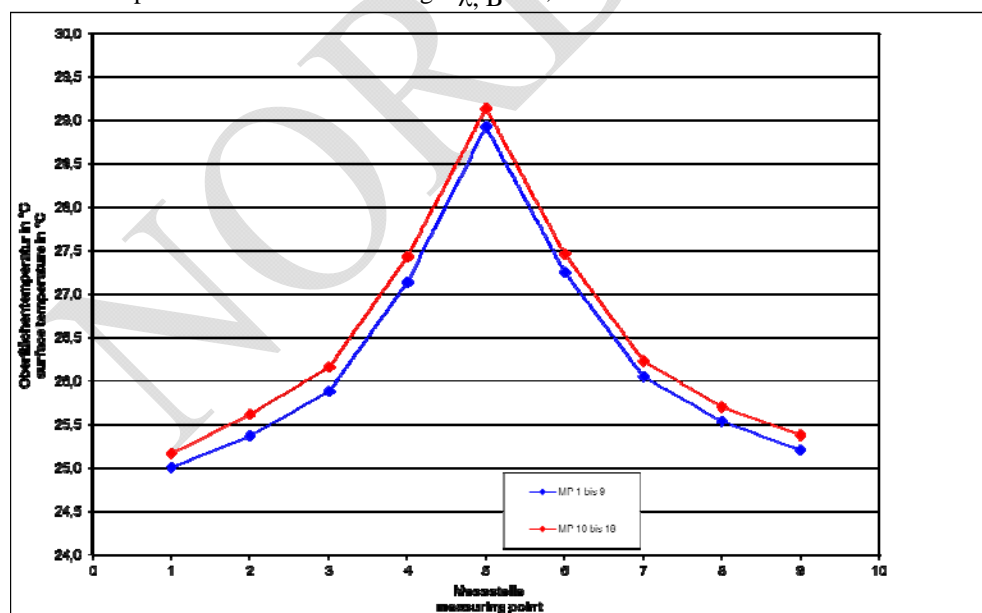


Abbildung 4: Oberflächentemperaturen mit Fußbodenbelag

Figure 4: surface temperature with floor covering

Der Bericht umfasst 11 Seiten. Er darf ohne Genehmigung des Auftragnehmers nur in vollem Umfang vervielfältigt werden. Die Prüfergebnisse beziehen sich ausschließlich auf die Prüfgegenstände.

This report consists of 11 pages. The report shall not be reproduced except in full without the written approval of the testing laboratory. The test results relate only to the items tested.

2.5 Kennlinien der Fußbodenheizung

2.5 characteristic curves of the floor heating system

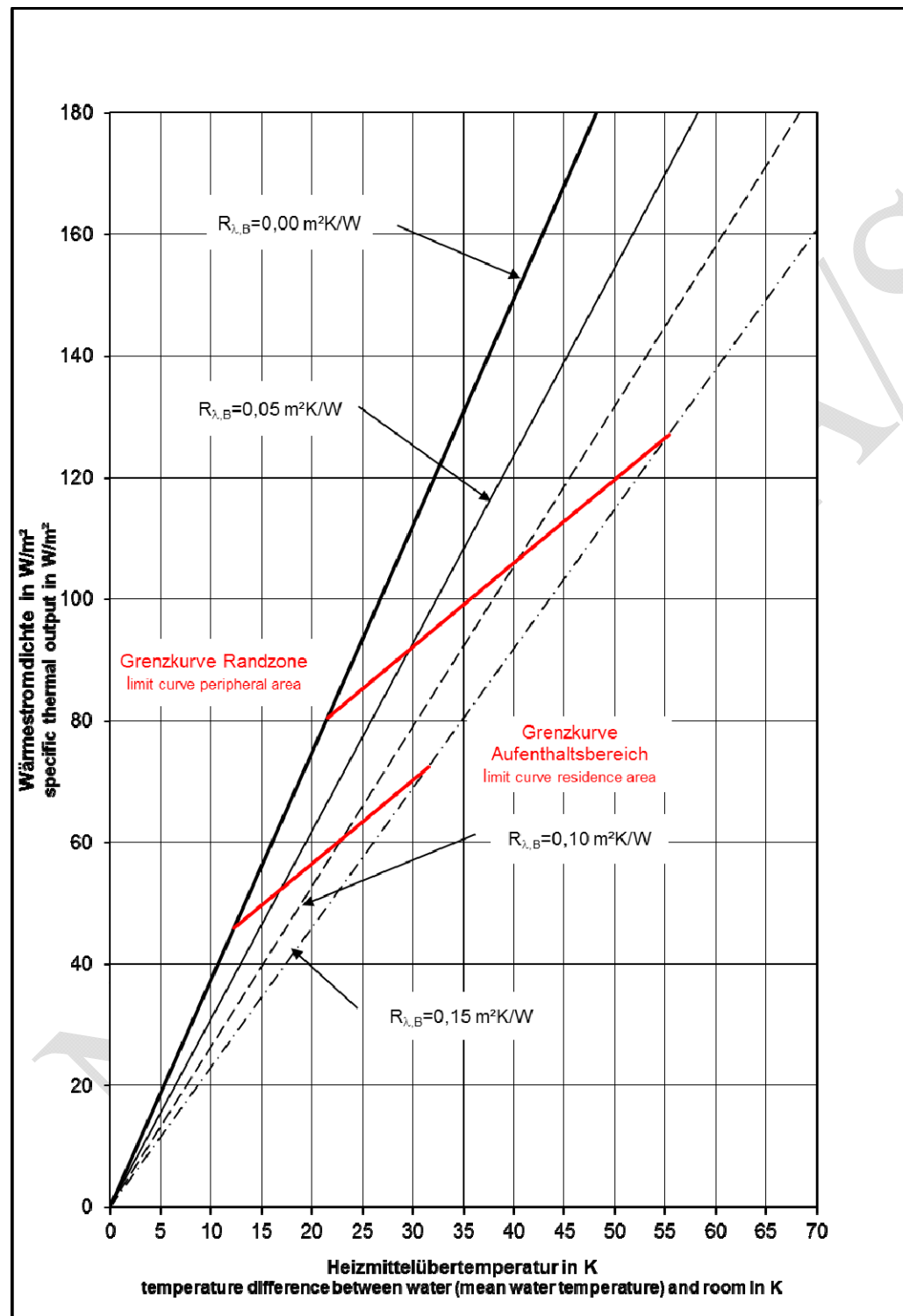


Abbildung 5: Leistungskennlinien Fußbodenheizungssystem
Figure 5: characteristic curves of the floor heating system

Der Bericht umfasst 11 Seiten. Er darf ohne Genehmigung des Auftragnehmers nur in vollem Umfang vervielfältigt werden. Die Prüfergebnisse beziehen sich ausschließlich auf die Prüfgegenstände.
This report consists of 11 pages. The report shall not be reproduced expect in full without the written approval of the testing laboratory. The test results relate only to the items tested.

3 Anhang

3 appendix

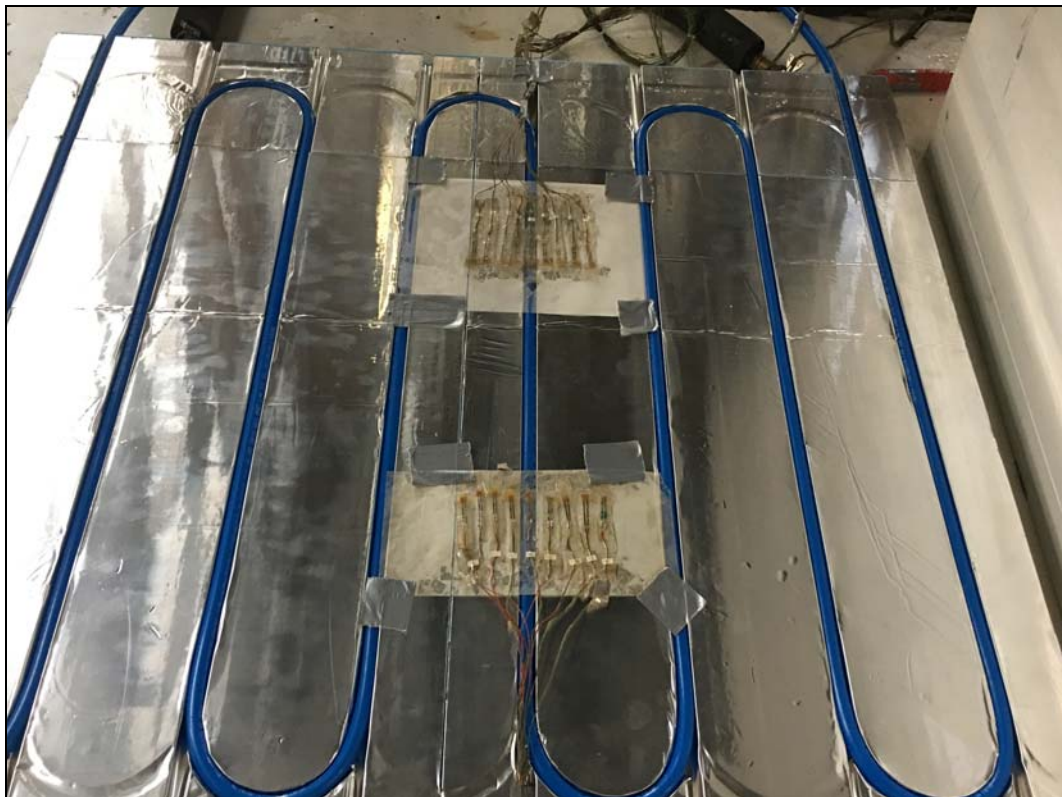


Abbildung A1: Prüfling mit Messfühlern

Figure A1: test sample with temperature sensors



Abbildung A2: Versuchsanordnung Plattenapparat



Figure A2: experimental testing

Systemaufbau:

Estrichmörtel: Nordic Fußbodenheizungsplatte 162541
Oberbelag: kein zusätzlicher Oberbelag

Der Bericht umfasst 11 Seiten. Er darf ohne Genehmigung des Auftragnehmers nur in vollem Umfang vervielfältigt werden. Die Prüfergebnisse beziehen sich ausschließlich auf die Prüfgegenstände.

This report consists of 11 pages. The report shall not be reproduced expect in full without the written approval of the testing laboratory. The test results relate only to the items tested.

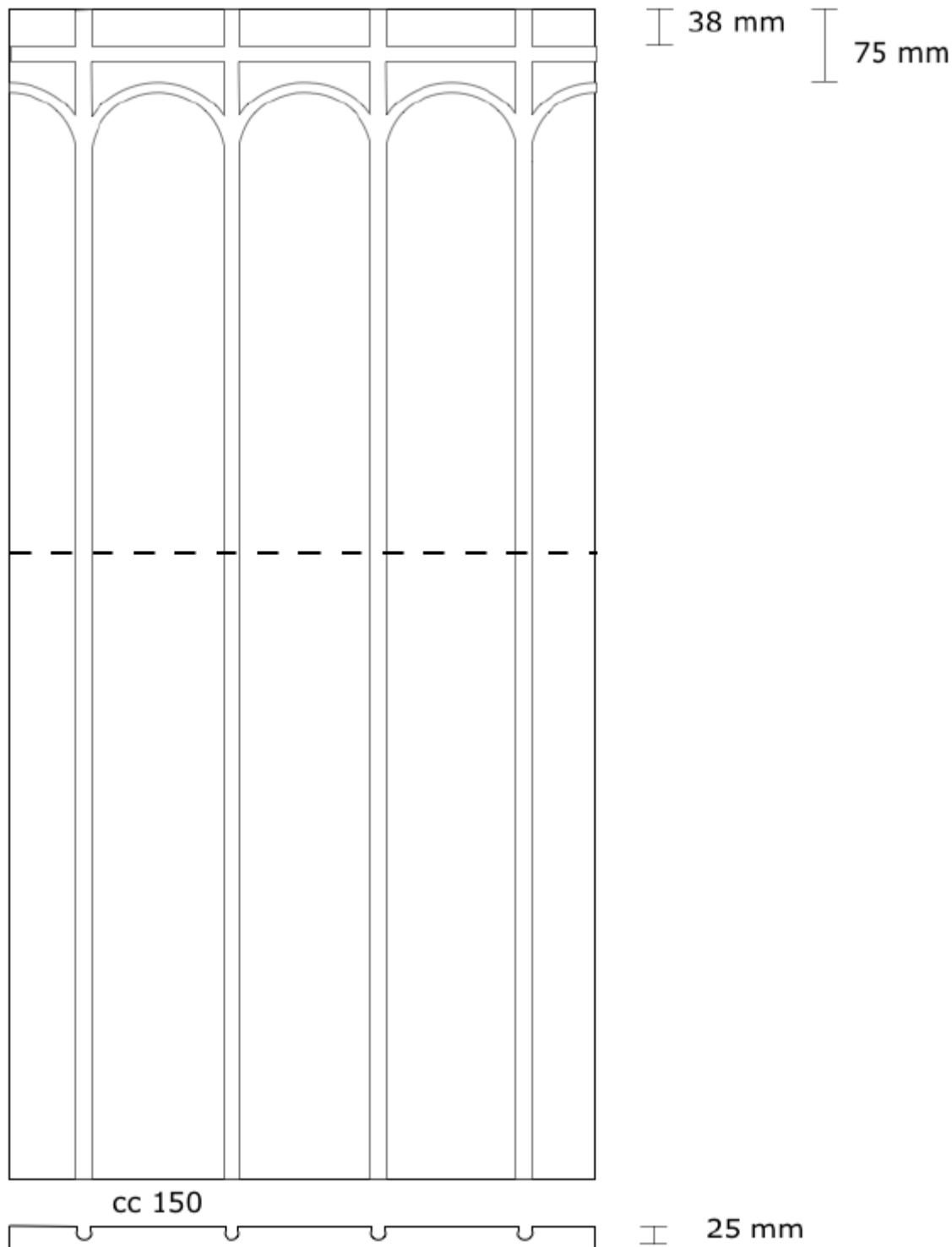


Abbildung A3: Systemaufbau

Figure A3: System design

Der Bericht umfasst 11 Seiten. Er darf ohne Genehmigung des Auftragnehmers nur in vollem Umfang vervielfältigt werden. Die Prüfergebnisse beziehen sich ausschließlich auf die Prüfgegenstände.
This report consists of 11 pages. The report shall not be reproduced expect in full without the written approval of the testing laboratory. The test results relate only to the items tested.

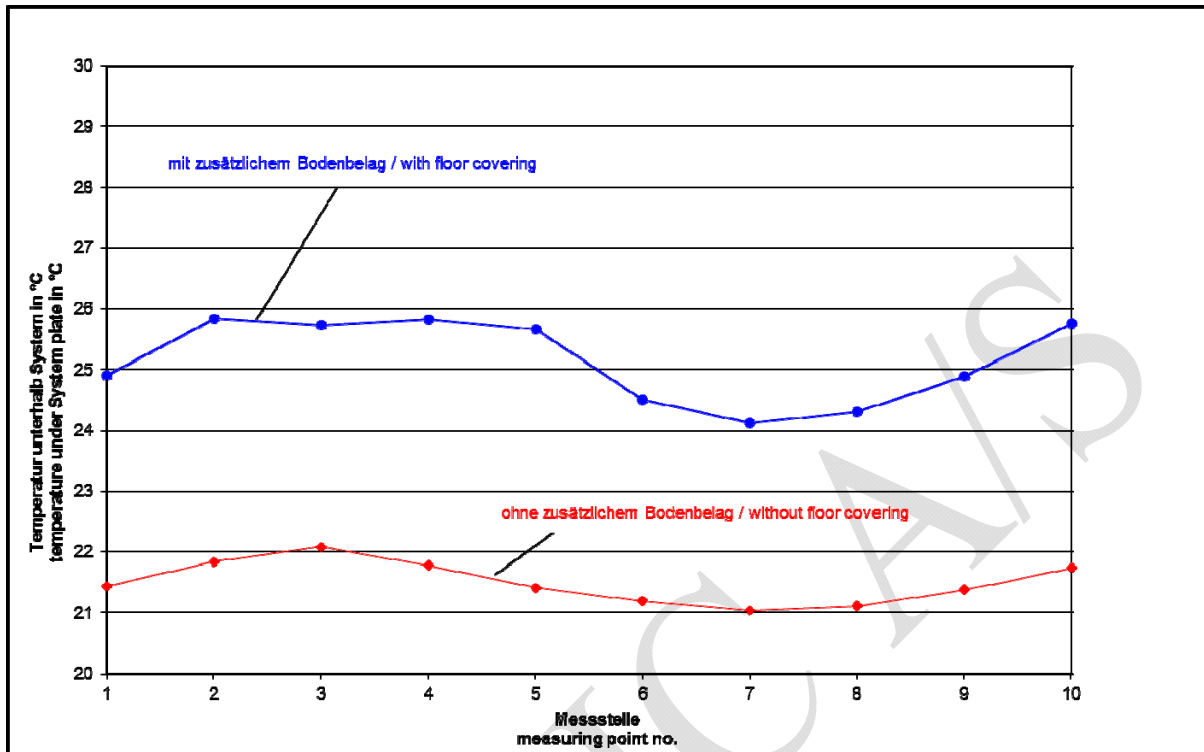


Abbildung A4: Temperaturen unterhalb Systemplatte

Figure A4: temperatures under system plate